

Elméleti módszerek lipidek és membránfehérjék tanulmányozására

Hegedűs Tamás

tamas@hegelab.org

MTA-SE Molekuláris Biofizikai Kutatócsoport
SE Biofizikai és Sugárbiológiai Intézet



Számítógépes modellezés jelentősége

Atomi szintű információt ad mozgásokról.

Kísérletes módszerek általában nem szolgáltatnak közvetlen információt az atomi szintű történésekről.
(pl. EPR, Xlinks: nem, de NMR: igen)

Fehérjék szerkezetének és dinamikájának jelentősége

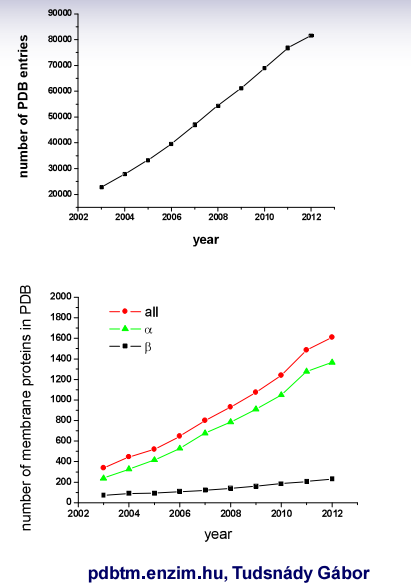
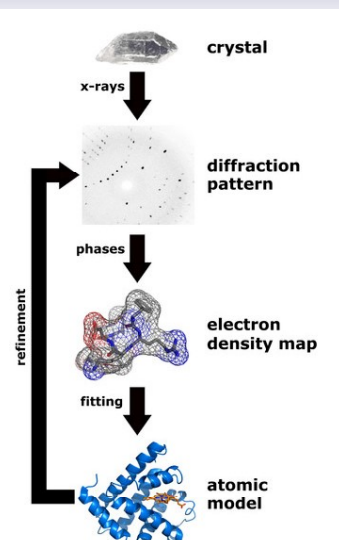
A betegség molekuláris szintű oka?
A gyógyszer-kötő zseb alakja?

37°C-on, oldatban nem egy szerkezet létezik,
hanem egy konformációs sokaság.

Membránfehérjék szerkezeti modellezése

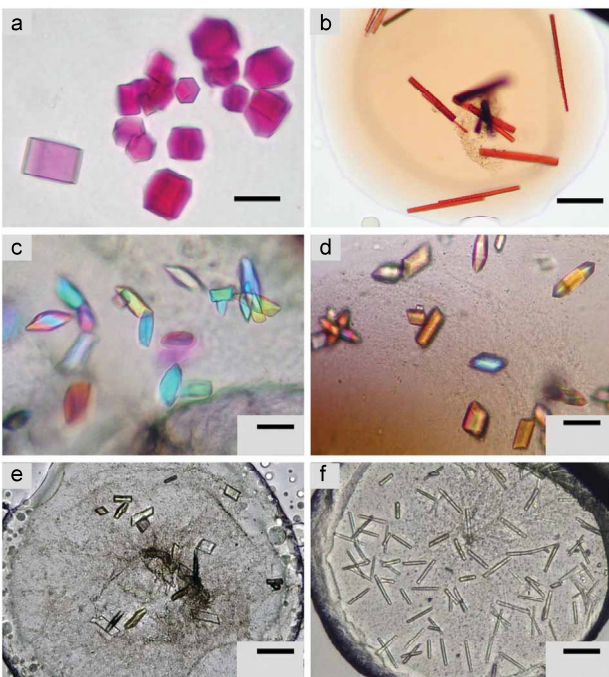
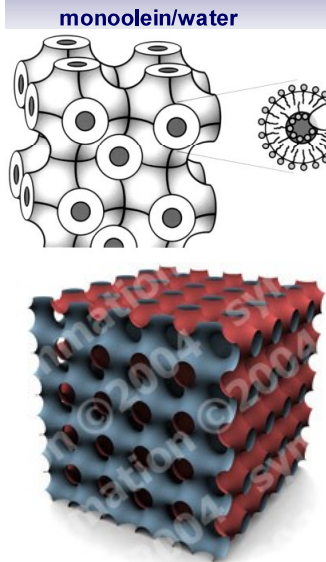
- Kísérleti adatok alapján
- Homológia modellezés
- „Threading” vagy „fold recognition”

Szerkezet meghatározás – Röntgen krisztallográfia



pdbtm.enzim.hu, Tudsnyády Gábor

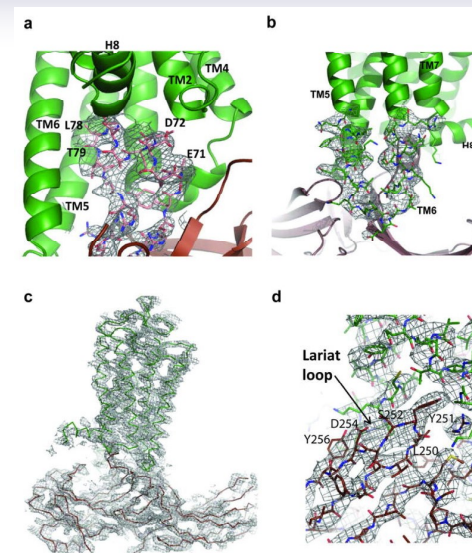
Szerkezet meghatározás – cubic phase



Crystals of membrane proteins growing in the lipidic mesophase.
 (a) bacteriorhodopsin
 (b) light-harvesting complex II
 (c) adhesin/invasin OpcA
 (d) vitamin B12 transporter BtuB
 (e) human β2 adrenergic receptor-T4 lysozyme chimera
 (f) carbohydrate transporter from *Pseudomonas*

Szerkezet meghatározás – „single particle”

Free Electron Laser (FEL)

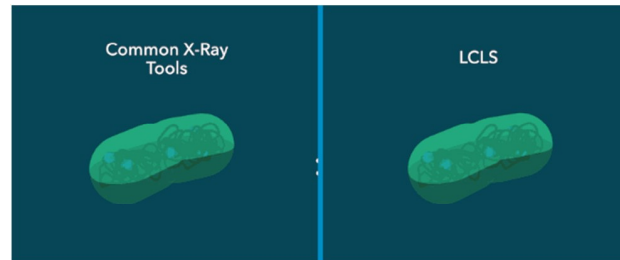


Nature, 2015 Jul 30;523(7562):561-7.

Crystal structure of rhodopsin bound to arrestin by femtosecond X-ray laser.

Szerkezet meghatározás – „teljes sejt”

Free Electron Laser (FEL)

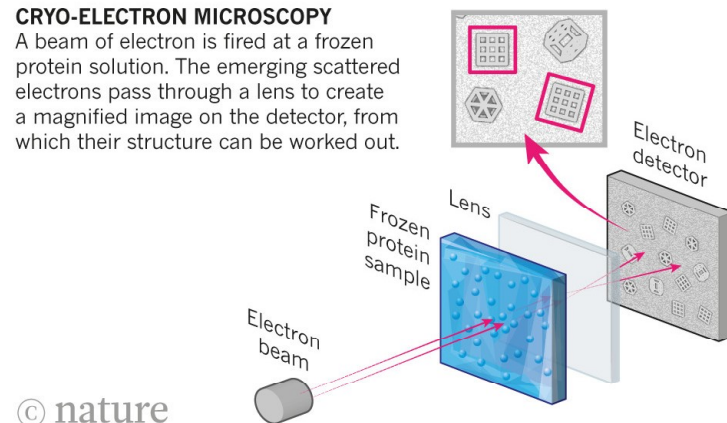


Szerkezet meghatározás – „single particle”

Cryo-electron microscopy

CRYO-ELECTRON MICROSCOPY

A beam of electron is fired at a frozen protein solution. The emerging scattered electrons pass through a lens to create a magnified image on the detector, from which their structure can be worked out.



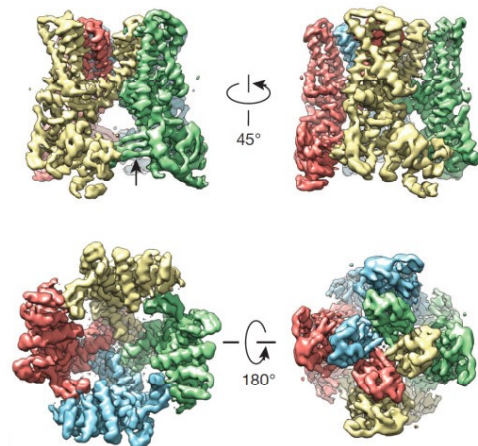
© nature

Ewen Callaway, Nature | News Feature

The revolution will not be crystallized: a new method sweeps through structural biology, 09 September 2015

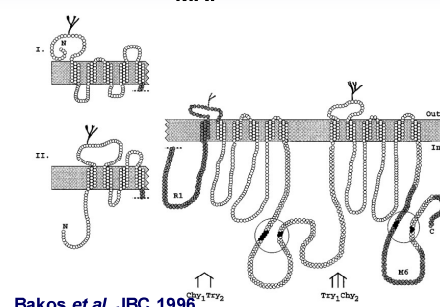
Szerkezet meghatározás – „single particle”

The TRPV1 channel detects the burn of chilli peppers, and this 3.4-Å structure is considered super-hot in the structural-biology world.

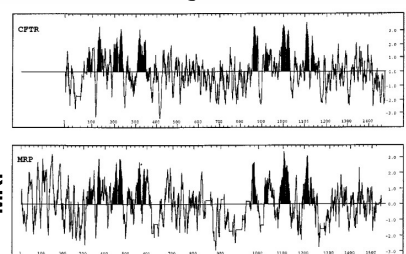


Membránfehérjék topológiája

MRP



Hidrofóbicitási görbék:



CFTR topológiája kísérletekből ismert
Chang et al. J Biol Chem. 1994 Jul 15;269(28):18572-5

Kísérletes topológia meghatározási módszerek:

- tag – felismerés
- Cys hozzáférhetőség

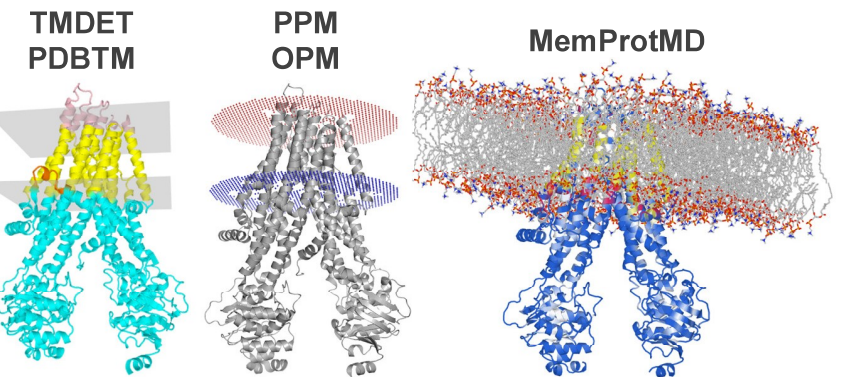
Membrántopológia és TM hélixek predikciója szekvencia alapján

pl. CCTOP.enzim.hu

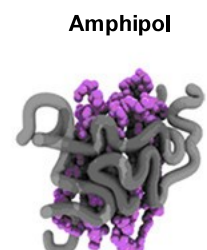
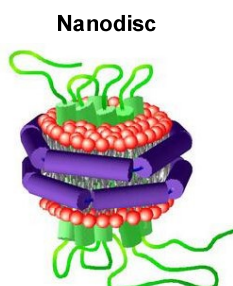
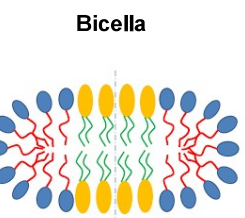
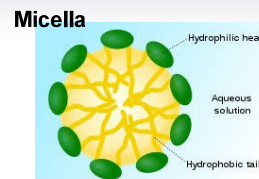
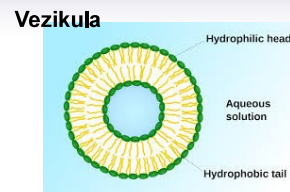
- Szekvencia alapján
- TMH és más részek között más az aminosav eloszlás
- Biológiai tudás figyelembevételenek lehetősége
- Több prediktor integrálása

TM hélixek predikciója szerkezet alapján

1. „water accessible area”, lipid kettősréteg lehetséges helye, pontozás – fitnessz függvény
2. molekula dinamika szimulációk

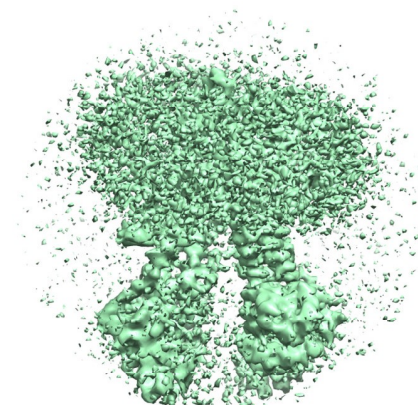


Membrán mimetikumok / membrane mimetics

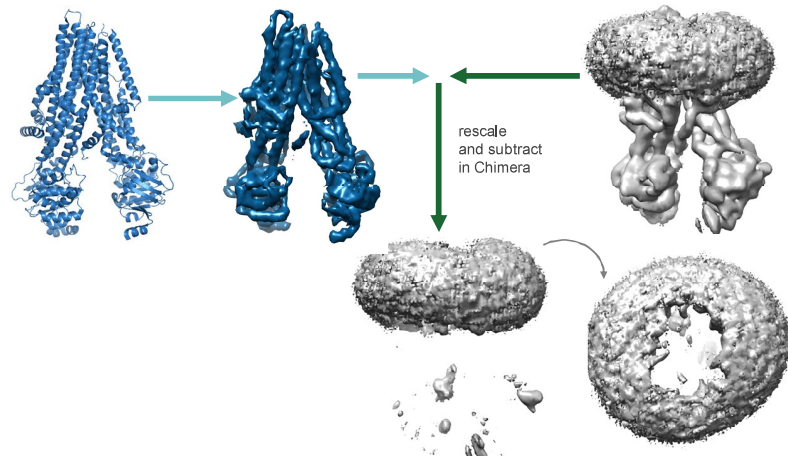


Membrane embedment data is in the
electron density maps

CFTR (PDBID: 5UAK) EMD

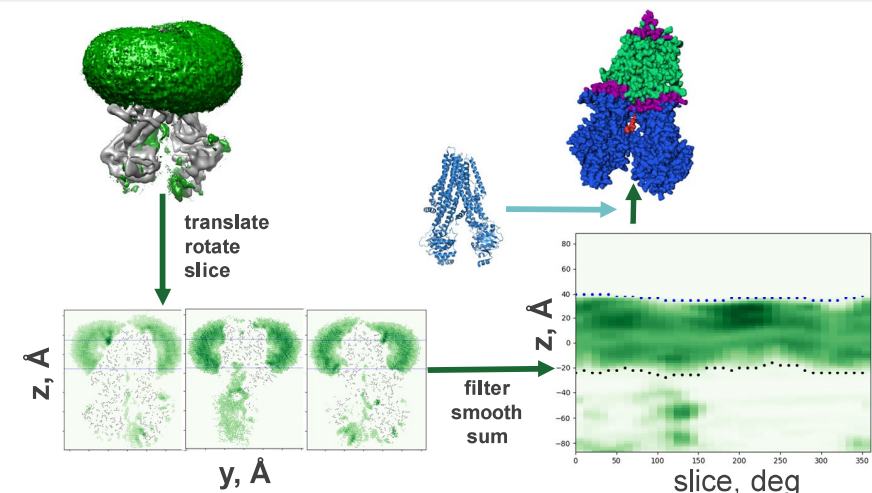


A membrane blob can be extracted from the electron density map



<http://memblob.hegelab.org>

The MemBlob can be converted to membrane boundaries



<http://memblob.hegelab.org>

Homológia modellezés I.

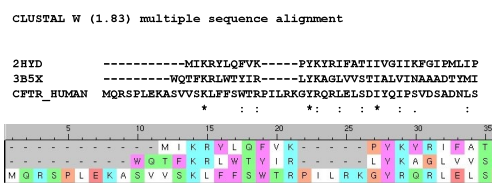
- Templat keresés
- Szekvencia illesztés
- Modellezés
- Energia-minimalizálás

Ala	4
Arg	-1 5
Asn	-2 0 6
Asp	-2 2 1 6
Cys	0 -3 -3 9
Gln	-1 0 0 -3 5
Glu	-1 0 0 2 -4 2 5
Gly	0 -2 0 -1 -3 -2 -2 6
His	-2 0 0 1 -1 -3 0 0 -2 8
Ile	-1 -3 -2 -3 -1 -3 -5 -4 -5 4
Leu	-1 2 3 -3 -1 -3 -2 -4 2 4
Lys	-1 2 0 -1 -1 -3 1 -1 -2 -1 -3 -2 2 5
Met	-1 -1 -2 -3 -1 0 -2 -3 -2 1 2 -1 5
Phe	-2 -3 -2 -3 -2 -3 -3 -1 0 0 -3 0 6
Pro	-1 -2 -2 -1 -3 -1 -1 -2 -2 -3 -5 -1 -2 -4 7
Ser	1 -1 0 0 -1 0 0 0 -1 -2 -2 0 0 -1 -1 4
Thr	1 -1 0 0 -1 0 1 -2 -2 -3 -1 1 -4 -3 -2 1 5
Trp	-3 -2 -2 -3 -2 -2 -3 -2 -2 -3 -1 1 -4 -3 -2 2 11
Tyr	-2 -2 -2 -3 -2 -1 -2 -3 -2 -1 -1 -2 -1 3 -3 -2 -2 2 7
Val	0 -3 -2 -3 -1 -2 -2 -3 -3 3 1 -2 1 -1 -2 -2 0 -3 -1 4

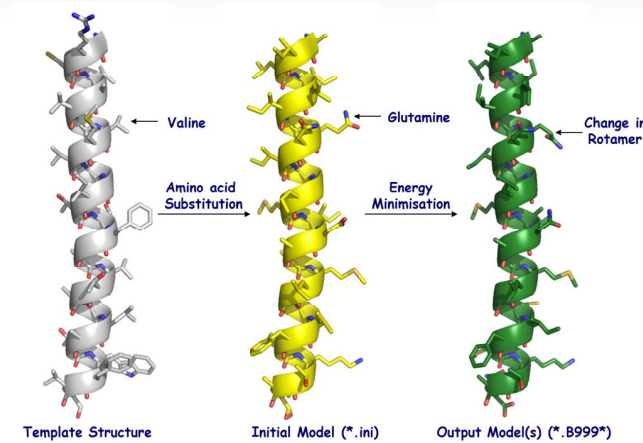
Ala Arg Asn Asp Cys Gln Glu Gly His Ile Leu Lys Met Phe Pro Ser Thr Trp Tyr Val

BLOSUM (BLocks of Amino Acid SUbstitution Matrix) matrix is a substitution matrix

Alignment – pl. ClustalW



Homológia modellezés II.



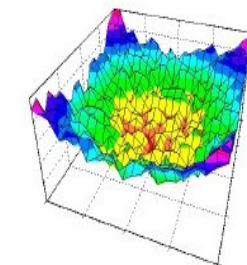
forrás: SBCB, Oxford, UK

Molecular dynamics

Van szerkezet, mozgassuk meg!

Molekuláris dinamika (MD)

- valós potenciálfelület
- mozgásegyenletek
idő-lépésekbeni numerikus megoldása
- trajektória



A „force field”

Baker (2007)

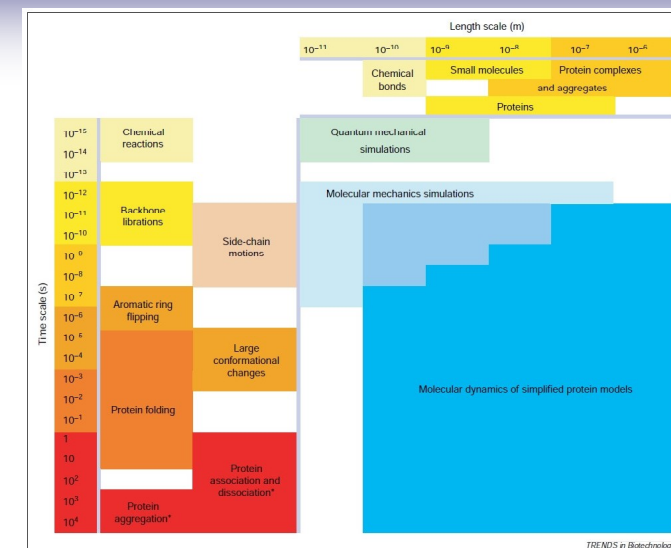
$$E_{\text{prot}} = W_{\text{rot}} E_{\text{rot}} + W_{\text{atr}} E_{\text{atr}} + W_{\text{rep}} E_{\text{rep}} + W_{\text{solv}} E_{\text{solv}} + W_{\text{pair}} E_{\text{pair}} \\ + W_{\text{mbenv}} E_{\text{mbenv}} + W_{\text{hbond}} E_{\text{hbond}} - E_{\text{ref}}$$

$$E_{\text{mbenv}} = \sum_i^{\text{natom}} \Delta G_i^{\text{ref}}(z') \quad \Delta G_i^{\text{ref}}(z') = (1 - f(z')) * (\Delta G_i^{\text{ref, chex}} - \Delta G_i^{\text{ref, water}})$$

TABLE II. Atomic Contribution to the Solvation Free Energy in Water and Cyclohexane

	Water	Chex	Water	Chex
CR	-0.890	-1.350	NH3	-20.000
CH1E	-0.187	-0.645	NC2	-10.000
CH2E	0.372	-0.720	N	-1.000
CH3E	1.089	-0.665	OH1	-5.920
CR1E	0.057	-0.410	O	-5.330
NH1	-5.950	-1.145	OC	-10.000
NR	-3.820	-1.630	S	-3.240
NH2	-5.450	-1.145	SH1E	-2.050
				-1.855

„Események” időskálája



F. Ding and N.V. Dokholyan, TRENDS in Biotechnology, 23:450 (2005)

Egyszerűsített (Coarse Grain) modellek

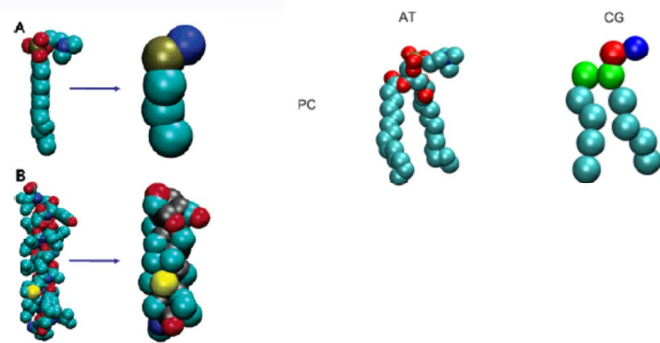
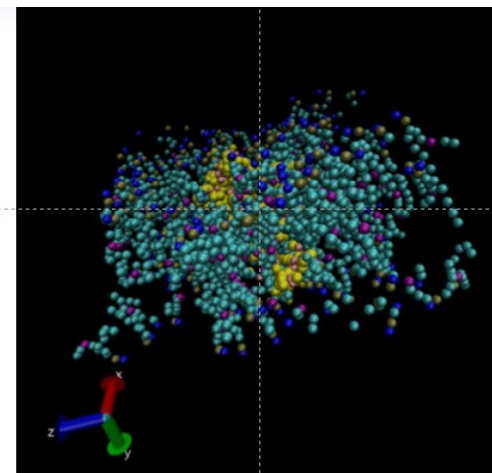


Figure 1. Atomistic (left-hand) and coarse-grained (right-hand) models compared for (A) a DPC molecule and (B) a GpA helix. Colors for atoms:

Sansom, Oxford University
Marrink, Groningen, MARTINI force field

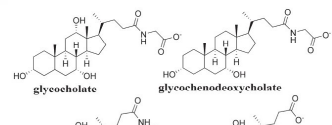
Kettősréteg felépülése a fehérje köré



Lipid struktúrák összeszerelődése

Molecular dynamics simulations of glycocholate-oleic acid mixed micelle assembly.

Langmuir 2010, 26(7), 4687–4692



A. Y. Shih et al. / Journal of Structural Biology 157 (2007) 579–592

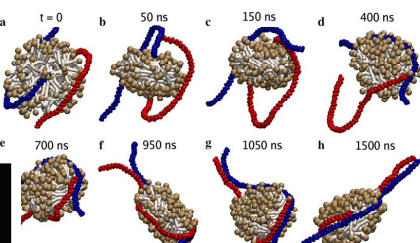
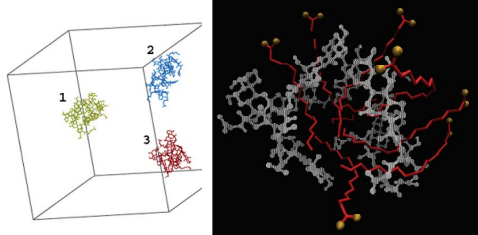
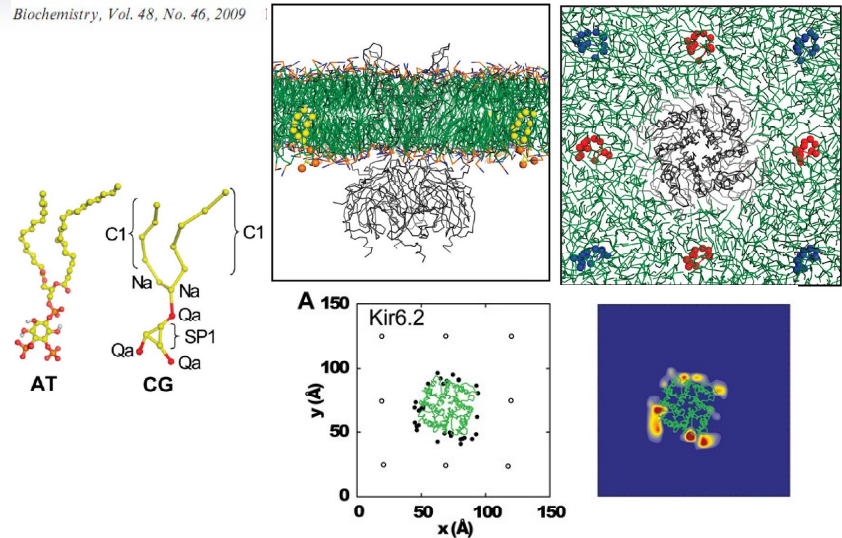


Figure 1. Chemical structures of the four common bile salts: glycocholate, glycochenodeoxycholate, taurocholate, and cholate.

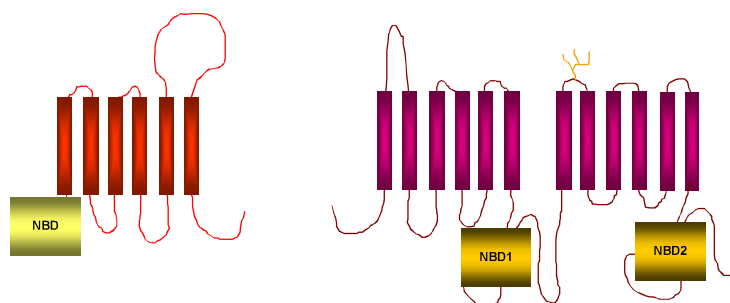


PIP2 kötődése Kir kálium csatornához

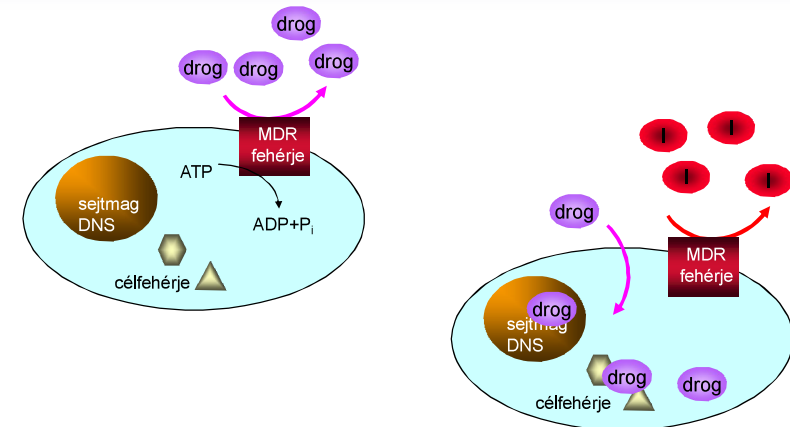
Biochemistry, Vol. 48, No. 46, 2009



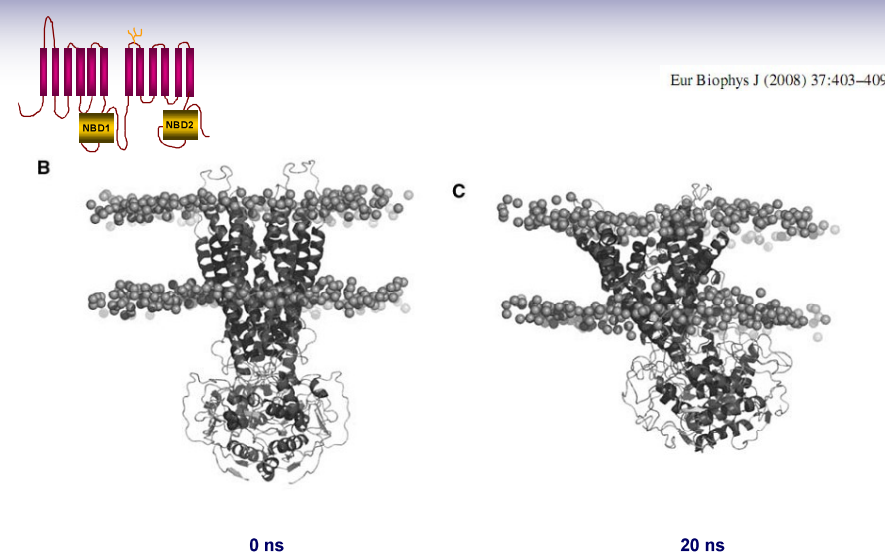
ATP Binding Cassette (ABC) fehérjék



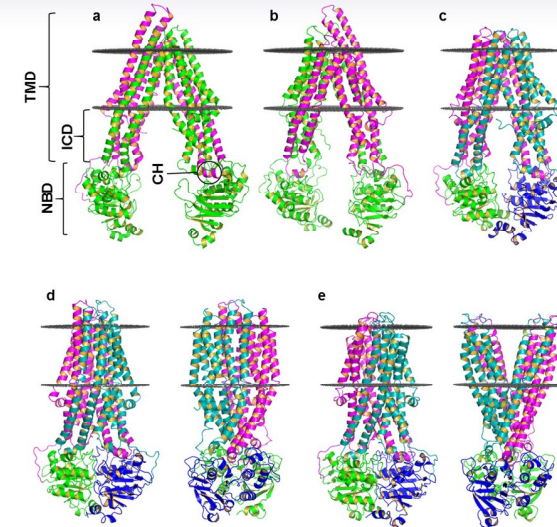
A multidrog-rezisztencia és felfüggesztése



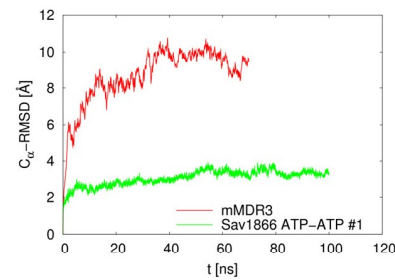
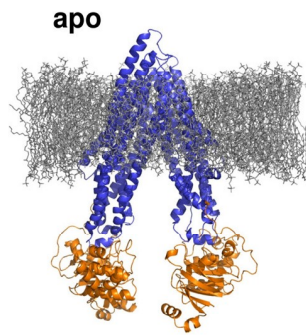
Fehérjék konformációinak stabilitása



ABC fehérjék konformációi (Type I)

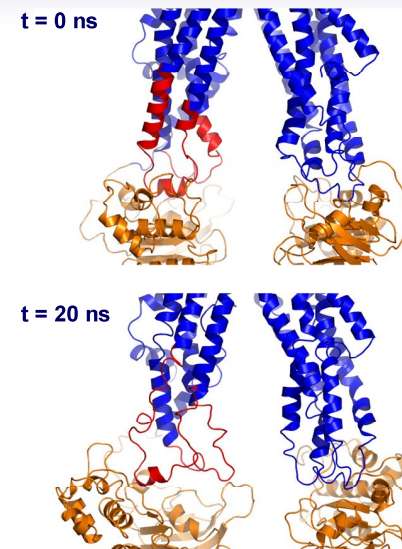


Az alul nyitott apo szerkezet nem stabil



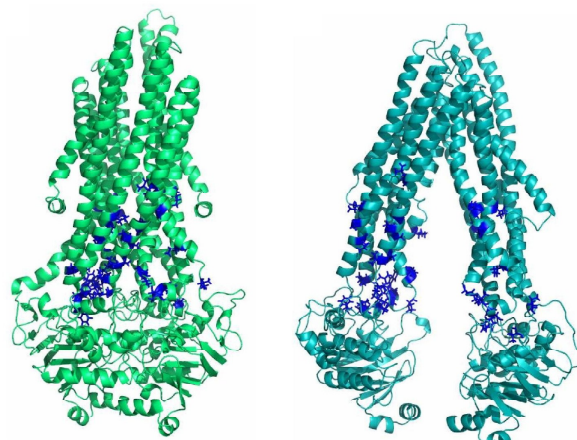
Gyimesi et al. BBA 2012

Az alul nyitott apo szerkezet nem stabil



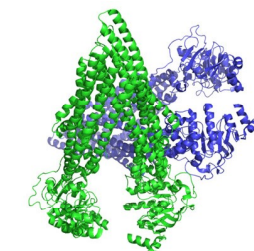
rendszer	megtartott hélixtartalom
Sav1866 ATP/ATP #1	90.04%
hMDR1 holo	91.84%
hMDR1 apo	64.30%
mMDR3	63.13%

Hidrofób aminosavak kerülnek felszíne

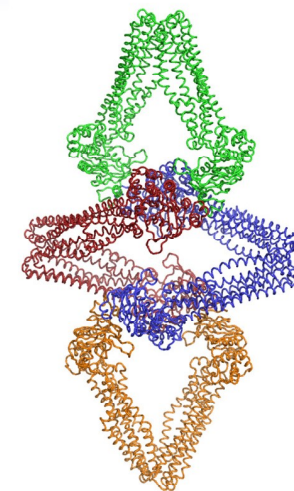


Alul nyitott apo szerkezet elemi cellája

mMDR3, PDBID:3G5U



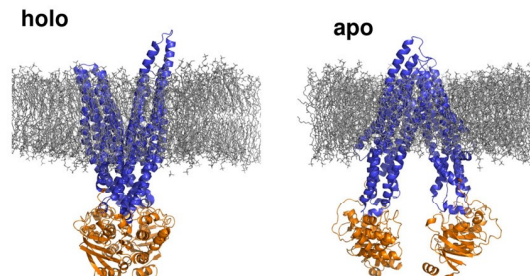
MsbA, PDBID:3B5W



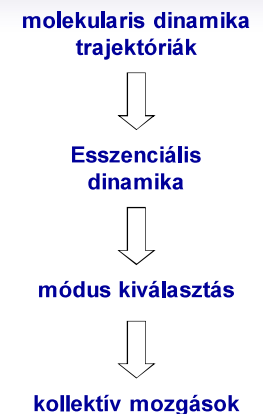
Események modellezése *biased MD*

- Hogyan befolyásolja az ATP hidrolízise a fehérje dinamikáját?
Pl. steered MD
- Hogyan történik meg az átmenet
az „alul-zárt” konformációból az „alul-nyitott” konformációba?
Pl. targeted MD

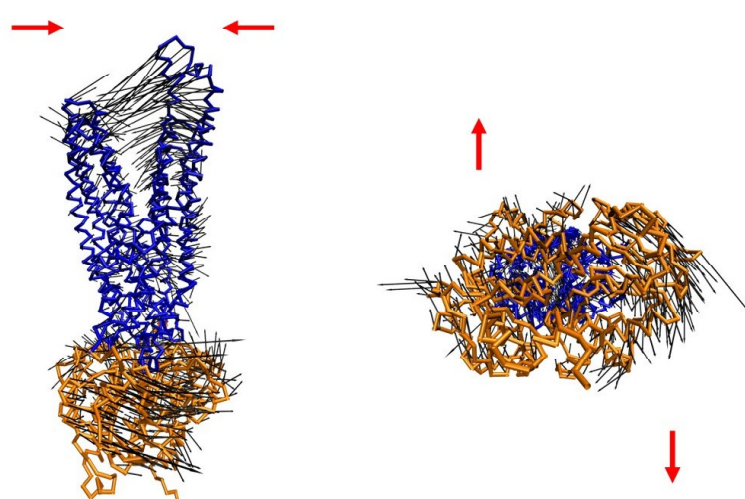
Zárt-nyitott átmenet jellemzése esszenciális dinamika



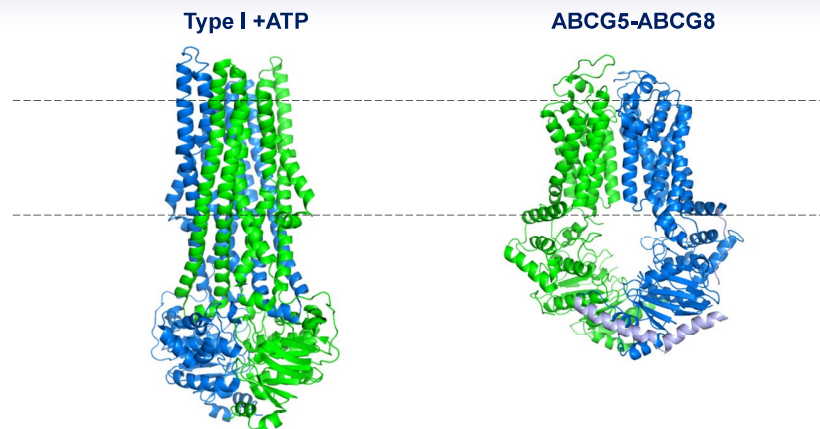
hMDR1 homologia modell



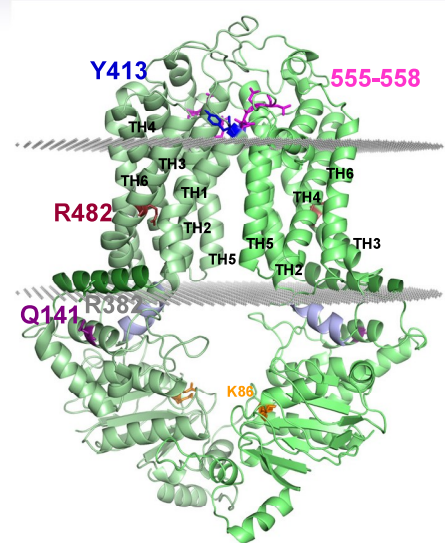
Zárt-nyitott átmenet



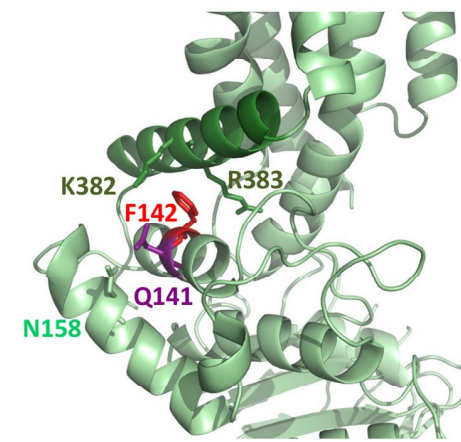
ABCG alcsalád - Type II



Az ABCG2 modell



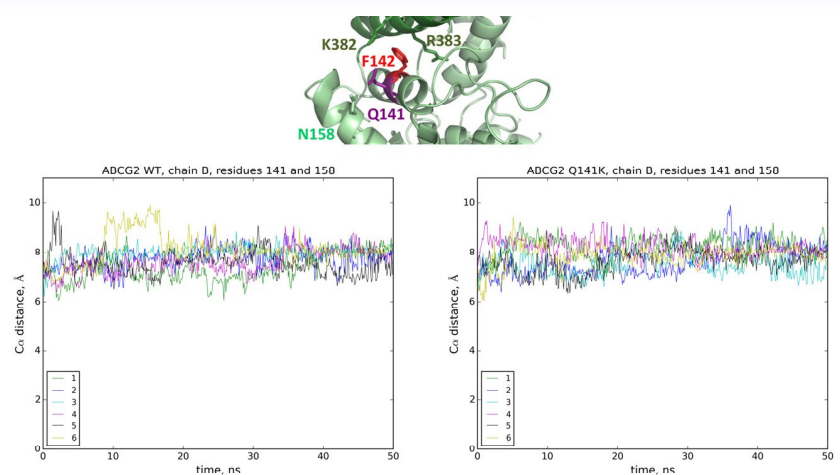
A Q141 helyzete



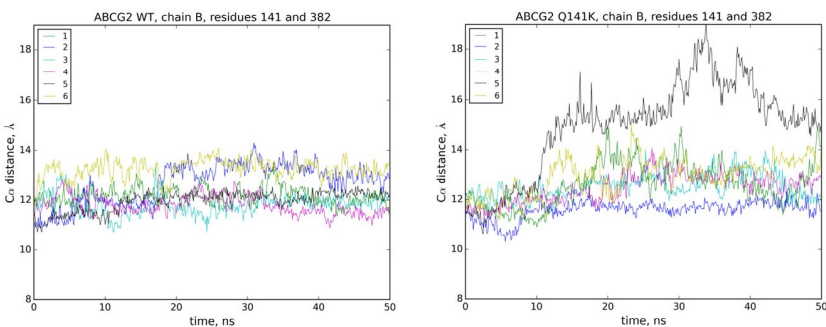
Molekuláris Dinamikai (MD) szimulációk

- Az ABCG2 fehérjét membrán kettősrétegbe helyeztük (POPC)
- Az a.a. oldalláncok, lipidek és vízmolekulák elhelyezkedésének optimalizálása:
 - energia minimalizáció
 - egyensúlyba hozás (6 db párhuzamos)
 - minimális gerinc-mozgás (position constrains)
- Production run
 - no constraints
 - 50 ns x 6 = 300 ns;
- WT és variánsok összehasonlítása
(pl. Q141K, R482G)

Q141K csere hatása a 141/158 kölcsönhatásra



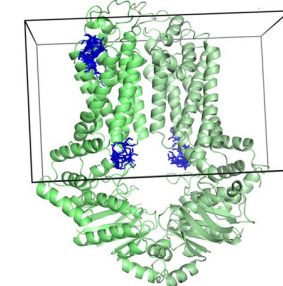
A Q141K hatása a 141/382 (NBD/TMD) kapcsolatra



Drogkötő helyek vizsgálata *in silico* dokkolással

AutoDock Vina

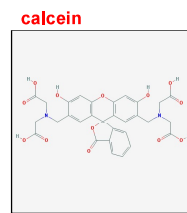
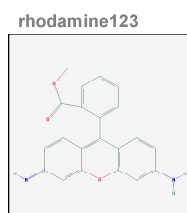
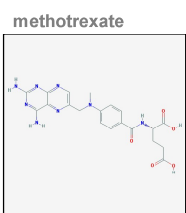
- Fix fehérje, flexibilis ligand
- Több konformáció (6 db, egyensúlyba hozott)
- Doboz; ligand odapróbálása nagyon sokszor (ebből 20/futás)



Drogkötő helyek vizsgálata *in silico* dokkolással

AutoDock Vina

- Fix fehérje, flexibilis ligand
- Több konformáció (6 db, egyensúlyba hozott)
- Doboz; ligand odapróbálása nagyon sokszor (ebből 20/futás)
- Mindent oda lehet dokkolni... ezért szubsztrát + nemszubsztrát

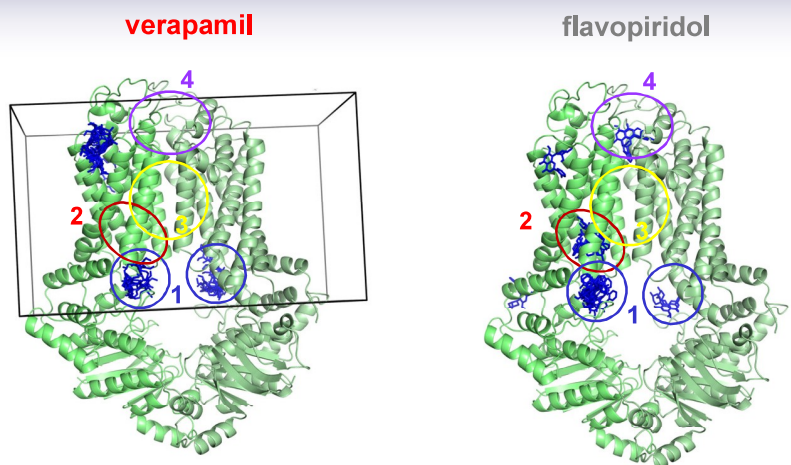


Drogkötő helyek vizsgálata *in silico* dokkolással

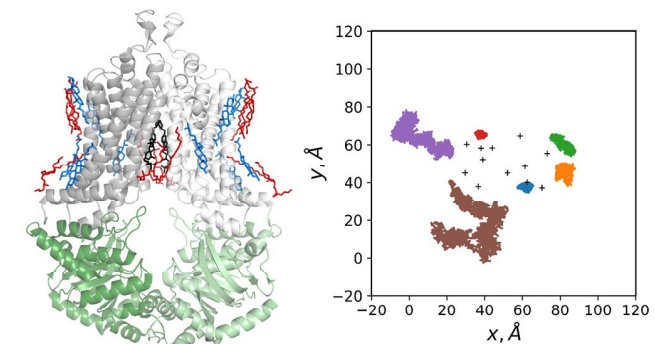
AutoDock Vina

- Fix fehérje, flexibilis ligand
- Több konformáció (6 db, egyensúlyba hozott)
- Doboz; ligand odapróbálása nagyon sokszor (ebből 20/futás)
- Mindent oda lehet dokkolni... ezért szubsztrát + nemszubsztrát
- (6 ABCG2 konformáció) * (20 pozitúra) * (3 párhuzamos) *
(25 szubsztrát + 14 nem-szubsztrát) = 14 040 pozitúra
- Pozitúrák klaszterezése

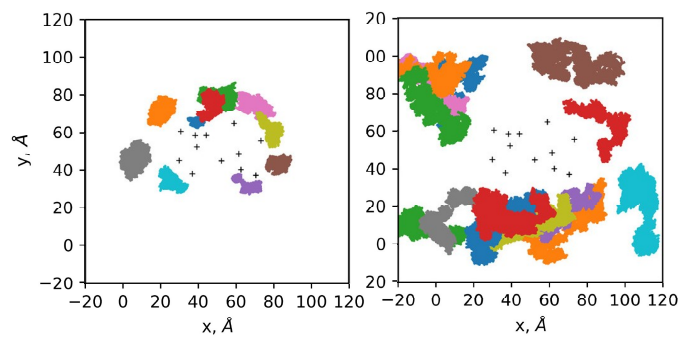
Drogkötő helyek vizsgálata *in silico* dokkolással



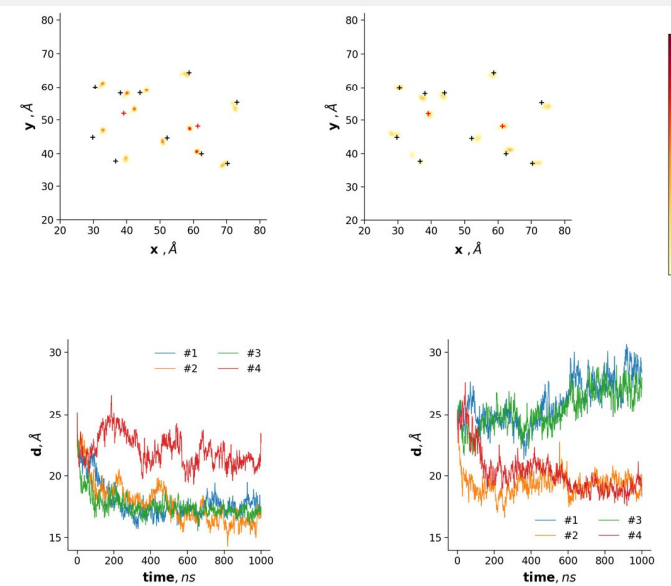
A koleszterin-hatás



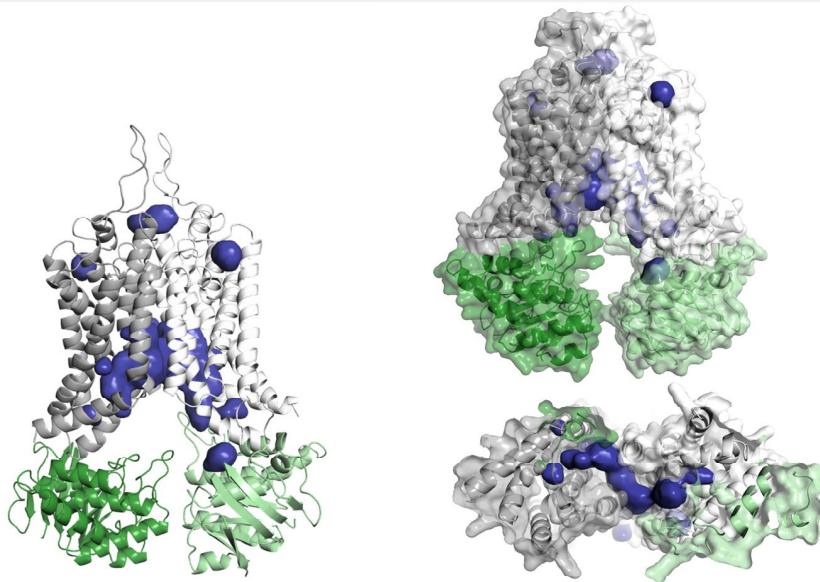
MD szimulációk POPC:CHOL membránban



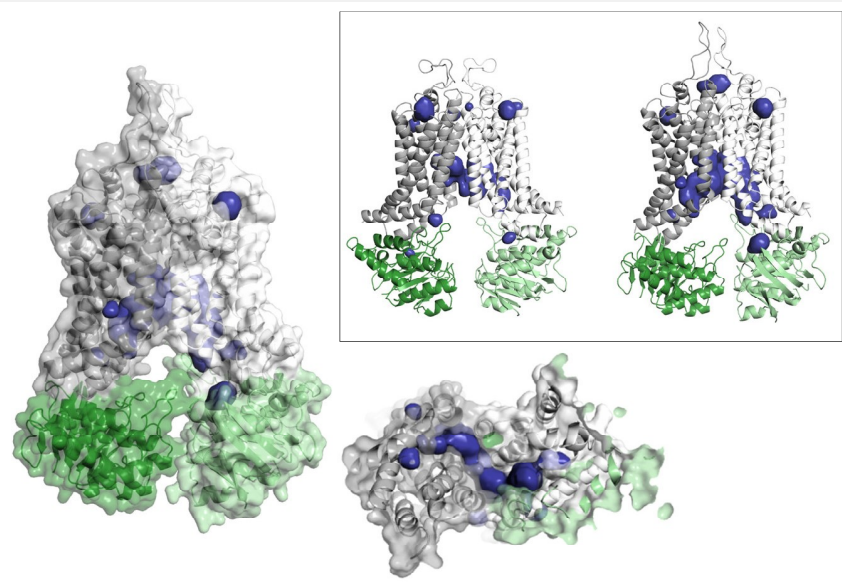
A koleszterin elősegíti a transzportot megelőző záródást



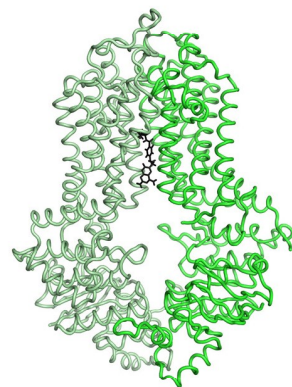
A drog-kötő zsebek dinamikus változása



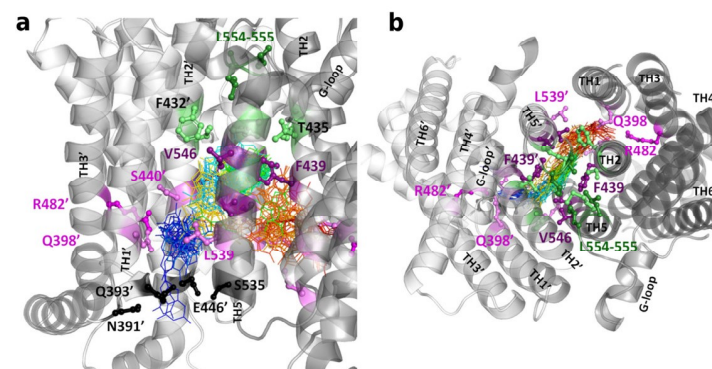
A drog-kötő zsebek dinamikus változása



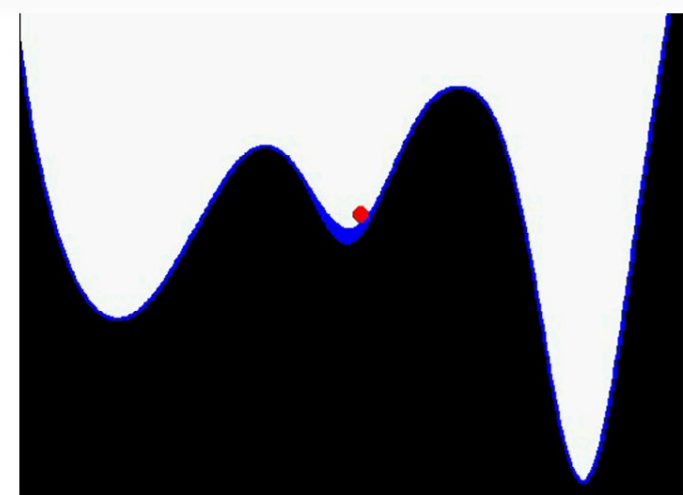
A transzport leírása egyensúlyi szimulációkkal



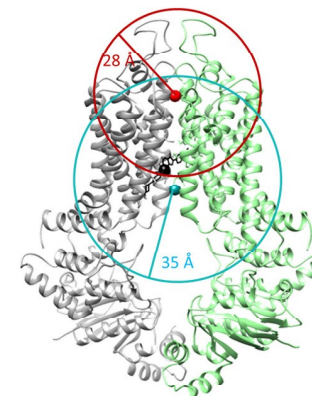
A transzport leírása egyensúlyi szimulációkkal



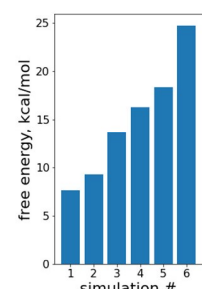
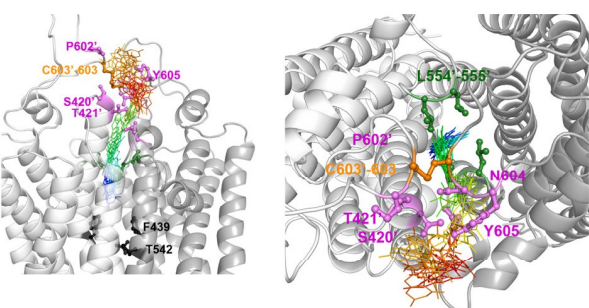
A „exit” jellemzése metadinamikával



Az „exit” jellemzése metadinamikával



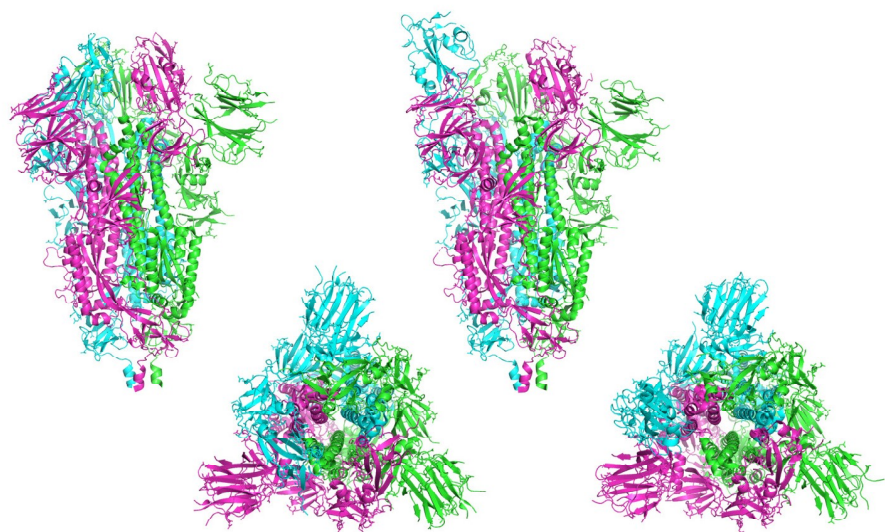
A „exit” jellemzése metadinamikával



SARS-CoV-2

- **SARS-CoV** sok adat, szekvenciális és szerkezeti hasonlóság, homológia (modellezés)
- **Nagy erőforrás ráfordítás** már most rengeteg (szerkezeti) adat
- **Kezelési megközelítések:**
 - passzív immunizálás
 - immunizálás
(állatok immunizálása tesztrendszer fejlesztéséhez)
 - gyógyszerfejlesztés

SARS-CoV-2, Spike fehérje



Összefoglalás

- Fehérje szerkezet
- Fehérje dinamika
- Számításos módszerek igen fontosak
- Fehérjék működésének és mutációk hatásának megismerése
- Gyógyszertervezés

www.hegelab.org
hegedus.tamas@hegelab.org